

УДК 550.442:553.8:552.323

ТЕФРА С ОСТРОВНОГО ВНУТРИПЛИТНО-ОКЕАНИЧЕСКОГО ВУЛКАНА КУМБРЕ-ВЬЯХА (ИЗВЕРЖЕНИЕ 2021 г.)

© 2023 г. В. И. Силаев^a, *, Г. А. Карпов^b, **, А. С. Шуйский^a, А. Ф. Хазов^a, Г. В. Игнатьев^a, С. Н. Шанина^a, Б. А. Макеев^a, И. В. Смолева^a, Д. В. Киселёва^c

^aИнститут геологии Коми НЦ УрО РАН, ул. Первомайская, 54, Сыктывкар, 167982 Россия

^bИнститут вулканологии и сейсмологии ДВО РАН, бульвар Пийта, 9, Петропавловск-Камчатский, 683006 Россия

^cИнститут геологии и геохимии УрО РАН, ул. Вонсовского, 15, Екатеринбург, 620016 Россия

*e-mail: silaev@geo.komisc.ru

**e-mail: karpovga@kscnet.ru

Поступила в редакцию 13.02.2023 г.

После доработки 08.04.2023 г.

Принята к публикации 27.06.2023 г.

Проведены комплексные минералого-геохимические исследования представительной пробы тефры с вулкана Кумбре-Вьяха (извержение 2020–2021 гг.), имеющей гравийно-псаммитовый гранулометрический состав, и характеризующейся аномально высокой степенью везикулярности частиц. По валовому химическому составу эта тефра соответствует переходу от щелочных пикробазальтов к щелочным базальтам, принципиально отличаясь от пеплов тефры окраинно-континентальных вулканов. В составе исследованной тефры обнаружено 45 микроэлементов с валовым содержанием до 2333 г/т, что превышает таковое в тефрах островодужных вулканов. По соотношению геохимических критериев тефра с вулкана Кумбре-Вьяха соответствует средним показателям для внутриплитных вулканов в океанах. Геохимической особенностью изученной тефры является сильное обогащение лантаноидами, благородными и платиноидными металлами. В составе литогеной газовой фазы, выделенном нагреванием из исследуемой тефры, установлены H₂, CO, CO₂, H₂O, CH₄, C₂H₄, C₂H₆, C₃H₆, C₃H₈. Пропорции между неорганическими компонентами в газовой фазе в целом соответствуют пограничной области между коровыми и мантийно-коровыми производными, но при этом обнаруживается относительно низкое содержание воды. В составе микролитов выявлены и изучены оливин состава Fo_{73–84}, существенно диопсидовый клинопироксен, плагиоклазы состава андезин-битовнит, хромшинелиды, фазово-гомогенные твердые растворы ильменита в магнетите, фазы Ni-Cu-содержащего самородного железа, кварц, натриевые гидроксил-хлориды. Кроме того, в тефре вулкана Кумбре-Вьяха обнаружено дисперсно-рассеянное углеродное вещество с изотопным составом углерода $\delta^{13}\text{C}_{\text{PDB}} = -30...-24\text{\textperthousand}$, что соответствует изотопному составу углерода в abiогенных углеродных веществах вулканогенного происхождения. Вся совокупность результатов минералого-геохимических исследований характеризует вулкан Кумбре-Вьяха как типичного представителя внутриплитно-океанических плюмовых вулканов.

Ключевые слова: плюмовые вулканы, Кумбре-Вьяха (2020–2021 гг.), химизм, микроэлементы, литогенная газовая фаза, микролиты, abiогенное углеродное вещество

DOI: 10.31857/S0203030623700268, **EDN:** WERUSL

ВВЕДЕНИЕ

Зарегистрированные извержения вулкана Кумбре-Вьяха на о. Ла Пальма (Испания) в Атлантическом океане (рис. 1а) происходили, начиная с XV века, с периодичностью от 31 до 237 лет. Последняя активизация произошла 19 сентября 2020 г., начавшись мощными выбросами пеплов и излиянием лав (см. рис. 1б). Достигнув максимума в ноябре, и постепенно затухая, извержение закончилось внезапно 25 января 2021 г. Оно стало рекордным по объему эксплозивного (пеплового) материала и катастрофичным по экологическим

последствиям — было уничтожено до 3000 построек, осуществлялась массовая эвакуация населения [Civico et al., 2022].

Историю последнего извержения подразделяют на три стадии [Romero et al., 2022]: зарождения — предколлапсную, кульминации — синколлапсную и постепенного затухания — постколлапсную (см. рис. 1в). Особенность вулкана Кумбре-Вьяха состоит в том, что он является ярким примером вулканов, функционирующих, в отличие от островодужных, на субстрате не континентальной [Гордеев, Бергаль-Кувикас, 2022; Гордеев, Кар-

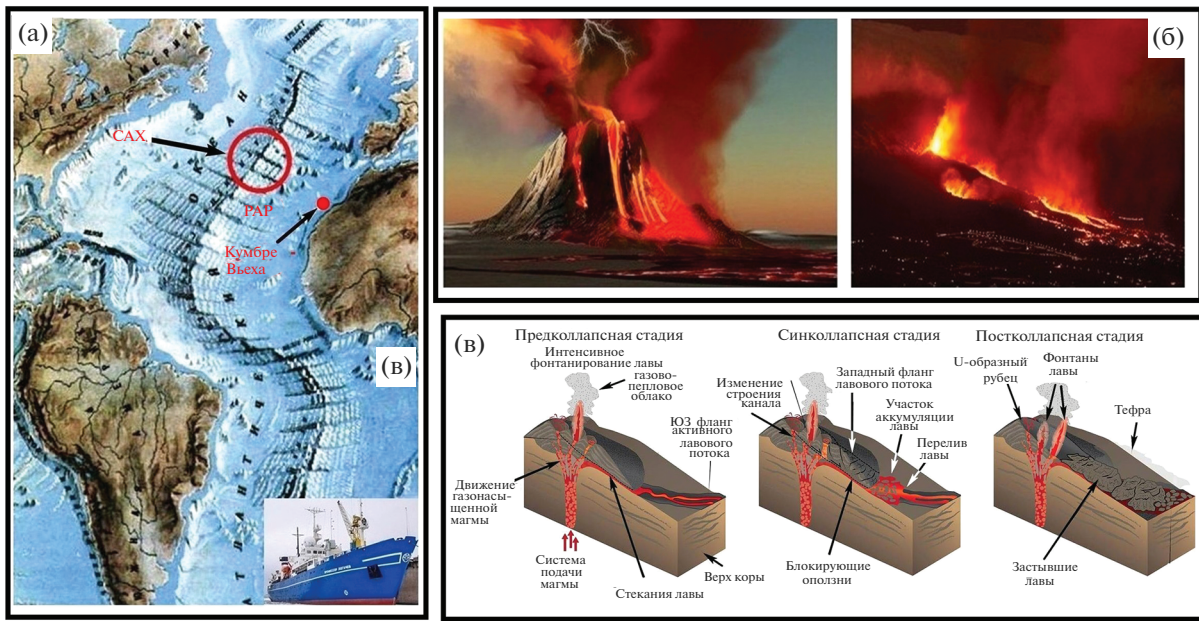


Рис. 1. Вулкан Кумбре-Вьяха.

а – геодинамическая позиция, CAХ – Срединно-Атлантический хребет; РАР – Российский разведывательный район в рифтовой зоне CAХ; б – извержение 2021 г.; в – модель стадийности извержения Кумбре-Вьяха, по [Romero et al., 2022].

пов, 2022], а океанической коры в результате про-
рыва к поверхности глубинного вещества вслед-
ствие так называемых мантийных плюмов [Собо-
лев, Никонесян, 1994; Салтыковский, Титаева,
1998; Грачев, 2003; Чернышева, Ерошенко, 2019].

ОБЪЕКТ И МЕТОДЫ ИССЛЕДОВАНИЙ

Проба тефры извержения Кумбре-Вьяха–2021 г. была отобрана 10.10.2021 г. в период первой, наибо-
лее мощной стадии извержения из горизонта тол-
щиной 7 см в точке с координатами 28°37'26.32" с.ш.
и 17°53'4.45" з.д. Общий вес отобранный пробы
составил 147.7 г. Нам на исследование была пере-
дана часть этой пробы весом 17.222 г. Получен-
ный материал гранулометрически оказался силь-
но неоднородным, распределяясь по фракциям
следующим образом (рис. 2): 1) гравий +3 мм –
2.155 г (12.51%); 2) гравий –3 + 2 мм – 1.295 г
(7.52%); 3) песок грубозернистый –2 +1 мм –
3.693 г (21.44%); 4) песок крупнозернистый –1 +
+ 0.5 мм – 5.812 г (33.74%); 5) песок среднезерни-
стый –0.5 + 0.25 мм – 3.521 г (2.44%); 6) песок мелкозернистый –0.25 мм – 0.746 г (4.35%). Про-
порция между гравийными и песчаными фракци-
ями составила 0.25 (см. рис. 2). В ходе исследова-
ний были использованы следующие аналитические
методы: термический анализ (DTG-60A/60 AH Shimadzu); рентгеновская дифрактометрия (Shimadzu XRD-6000); сканирующая электронная мик-
роскопия (JSM-6400 с ЭД и волновым спектрометра-

ми); масс-спектрометрия с индуктивно-связанной
плазмой (Agilent 7700x); рентгенофлуоресцент-
ный анализ (Shimadzu XRF-1800); определение
валового содержания углерода методом кулоно-
метрического титрования по величине pH (An-
7529M); изотопная спектрометрия углерода (Del-
ta V+ (Finnigan) с элементным анализатором Flash
EA-HT 1112 и газовым коммутатором Confo IV; изо-
топная спектрометрия стронция и неодима (Tri-
ton Plus Thermo Fisher Scientific); газовая хрома-
тография (“Цвет-800” с пиролитической при-
ставкой).

ОБЩАЯ ХАРАКТЕРИСТИКА

Во всех гранулометрических фракциях исследо-
ванной пробы морфология частиц заметно откло-
няется от изометричности, но в разной степени (ко-
эффициент удлинения частиц: среднее ± СКО, в
скобках – коэффициент вариации в %): гравий
+3 мм = 1.47 ± 0.36 (24); гравий –3 + 2 мм = 1.85 ±
± 0.49 (26); песок грубозернистый = 2.08 ± 0.7 (34);
песок крупнозернистый = 2.22 ± 0.75 (34); песок среднезернистый = 1.76 ± 0.56 (32); песок мелкозер-
нистый = 2.28 ± 0.79 (35%). Таким образом, степень
удлинения частиц в ряду гранулометриче-
ских фракций последовательно увеличивается в
направлении от гравия +3 мм до крупнозернисто-
го песка, а затем сокращается в среднезернистом
песке и далее скачкообразно возрастает до макси-
мума в мелкозернистом песке. При этом в преде-

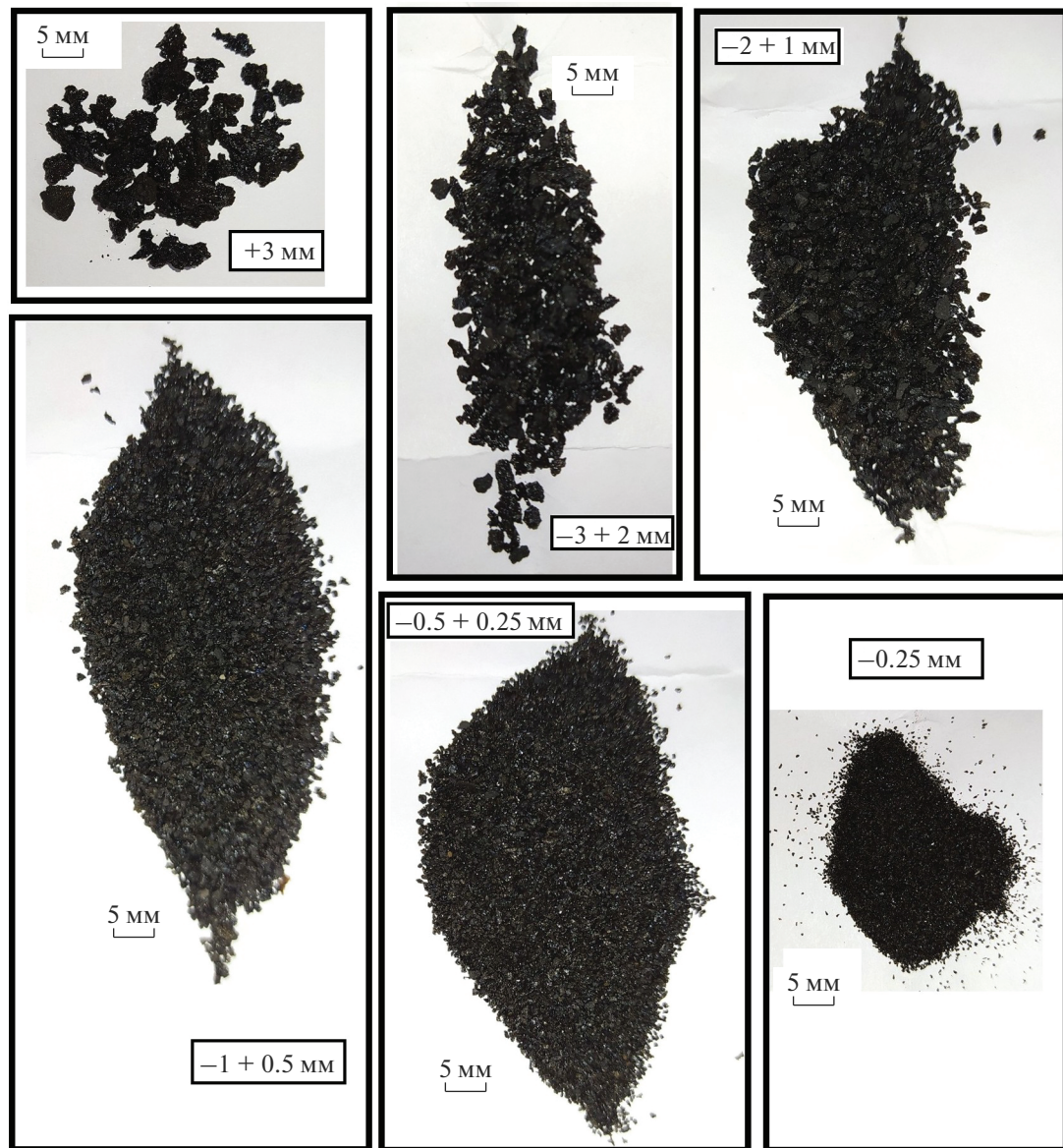


Рис. 2. Гранулометрические фракции в исследованном образце тифры с вулкана Кумбре-Вьяха.

лах отдельных фракций степень удлинения колеблется весьма умеренно – коэффициенты вариации лежат в пределах 24–35%.

Важная особенность частиц в исследуемой тифре – высокая степень их везикулярности (рис. 3, 4), явно превышающая таковую в частицах пеплов и тифр островодужных вулканов. Это свидетельствует о повышенной газонасыщенности пеплов Кумбре-Вьяха. Везикулы имеют в основном овальную форму с незначительным варьированием по размерам. В гравийных частицах размеры везикул лежат статистически в пределах $(162 \pm 140) \times (98 \pm 83)$ мкм с коэффициентом удлинения 1.67 ± 0.54 . Коэффициент корреляции между длиной и шириной составляет 0.86. В песчаных части-

цах те же параметры составляют $(156 \pm 146) \times (105 \pm 113)$ мкм, 1.57 ± 0.64 и 0.94. Следовательно, устанавливается практически тождественность параметров везикулярности в частицах гравийных и псаммитовых фракций, что указывает на генетическую однородность исследованного материала.

ХИМИЧЕСКИЙ СОСТАВ

Исследованная нами тифра имеет следующий валовый химический состав (мас. %): SiO_2 44.22 ± 0.53 ; TiO_2 2.17 ± 0.08 ; ZrO_2 1.57 ± 3.64 ; Al_2O_3 12.28 ± 4.11 ; Fe_2O_3 13.19 ± 0.43 ; Cr_2O_3 0.06 ± 0.014 ; NiO 1.52 ± 3.68 ; CuO 0.03 ± 0.02 ; ZnO 0.03 ± 0.01 ;

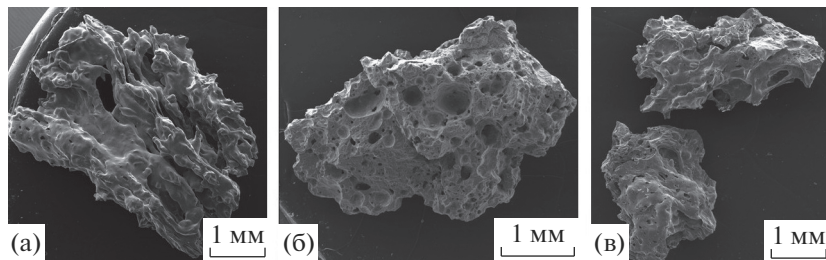


Рис. 3. Облик типичных частиц гравийных фракций.

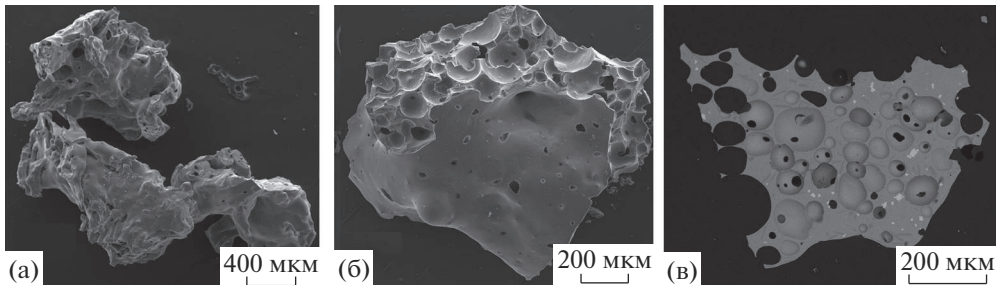


Рис. 4. Облик типичных частиц песчаных фракций.

MnO 0.16 ± 0.01 ; MgO 7.34 ± 0.8 ; CaO 11.32 ± 0.25 ; SrO 0.16 ± 0.01 ; Na_2O 3.87 ± 0.16 ; K_2O 2.1 ± 0.14 ; P_2O_5 0.89 ± 0.08 ; SO_3 0.26 ± 0.14 ; Cl 0.14 ± 0.04 . Преобладающая в частицах тефры стеклофаза отличается несколько большей кремнеземистостью, глиноземистостью и щелочностью, но более низкой магнезиальностью, железистостью и известковистостью. Очевидно, что это обусловлено разницей химического состава вулканического стекла и содержащихся в нём микролитов, влияющих на валовый состав тефры.

В рамках петрохимической номенклатуры (рис. 5) исследованная тефра соответствует переходу от щелочных пикробазальтов к щелочным базальтам (базанитам). При этом стеклофаза в ней соответствует только щелочным базальтам. Полученные нами данные по тефре достаточно близки к таковым для лав и шлаков вулкана Кумбрэ-Вьяха, изученных другими исследователями [Romero et al., 2022]. Следует подчеркнуть, что выявленные особенности химизма исследованных продуктов извержения – пикробазальты и базальты, обогащенные магнием и щелочами – типоморфны именно для плюмовых вулканов [Грачев, 2003]. По общему химизму вулканиты Кумбрэ-Вьяха близки к океаническим вулканитам рифтовой зоны Срединно-Атлантического хребта, отличаясь от последних лишь сильно повышенной (в 2–3 раза) щелочностью. Наряду с этим вулканиты Кумбрэ-Вьяха по химическому составу принципиально отличаются от тефр, шлаков и лав островодужных камчатских вулканов, кото-

рые соответствуют трахи- и нормально-низкощелочным базальтам, андезибазальтам и андезитам.

Таким образом, с учетом результатов наших предыдущих исследований [Карпов и др., 2017; Силаев и др., 2019а, 2019б, 2020, 2021] современные вулканиты можно подразделить на три основных типа (см. рис. 5): 1) продукты извержения *плюмовых вулканов* – Кумбрэ-Вьяха и Этна; 2) близкие к плюмовым по общему химизму *пикробазальты САХ*; 3) принципиально отличные от плюмовых и САХ-рифтовых вулканитов продукты извержения *островодужных вулканов*. Некоторым исключением из приведенного ряда выглядит изученная нами тефра с вулкана Эребус, отличающаяся кислотностью и аномально высокой щелочностью (фонолиты). Но и в этом случае можно увидеть результат эволюции продуктов извержения скорее плюмовых, чем островодужных вулканов [Giehl et al., 2013].

МИКРОЭЛЕМЕНТЫ

В составе исследованной нами тефры обнаружено 45 микроэлементов (табл. 1), валовое содержание которых достигает 2333.3 г/т, что заметно превышает таковое в тефрах островодужных вулканов. В ряду гранулометрических фракций тефры Кумбрэ-Вьяха в направлении от гравийной к псаммо-мелкозернистой валовое содержание микроэлементов сокращается примерно на 5%. С позиций Ю.Г. Щербакова [1976] выявленная в тефре ассоциация микроэлементов демонстрирует

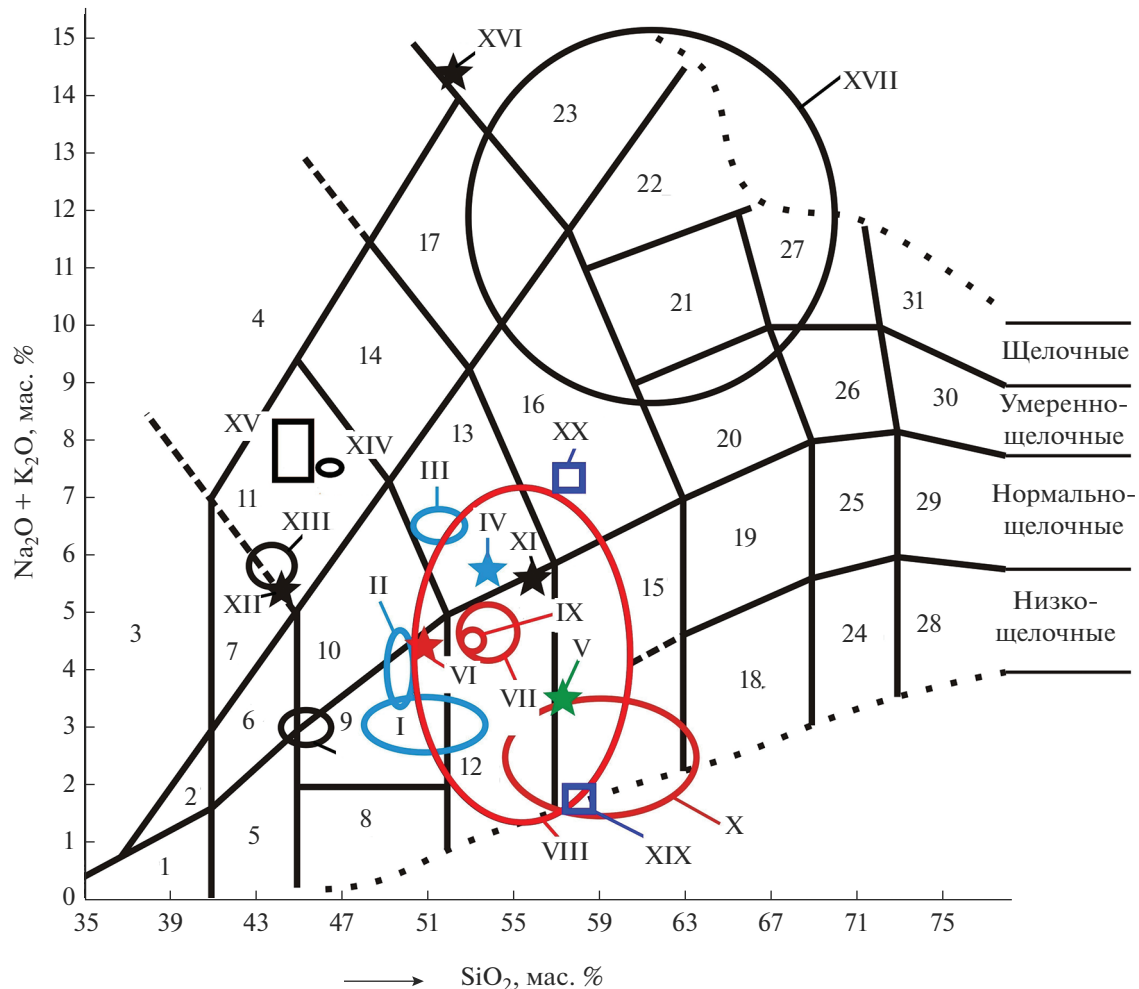


Рис. 5. Диаграмма TAS, иллюстрирующая химизм исследованных пеплов и тефра.

Поля на диаграмме: 1 – пикриты; 2, 3 – пикриты, соответственно умеренно-щелочные и щелочные; 4 – фоидиты; 5–7 – пикробазальты, соответственно ультраосновные, умеренно-щелочные, щелочные (тефриты); 8 – базальты основные; 9 – базальты; 10 – трахибазальты; 11 – базальты щелочные (базаниты); 12 – андезибазальты; 13 – трахиандезибазальты; 14 – фонотефриты; 15 – андезиты; 16 – трахиандезиты; 17 – тефрифонолиты; 18 – дациты низкощелочные; 19 – дациты; 20 – трахидиадыты; 21 – трахиты; 22 – трахиты щелочные; 23 – фонолиты; 24 – риодиадыты низкощелочные; 25 – трахидиадыты; 26 – трахириодиадыты; 27 – риодиадыты щелочные (пантельлериты); 28 – риолиты; 29 – риолиты щелочные (комендииты); 30 – трахириолиты; 31 – риолиты щелочные (комендииты).

Объекты исследований: I – Толбачик, БТТИ (1975–1976 гг.), лавы; II – Толбачик, БТТИ, алмазосодержащая тефра; III – Толбачик, ТТИ-50 (2012–2013 гг.), лавы; IV – Толбачик, ТТИ-50, алмазосодержащая тефра; V – Корякский (2008–2009 гг.), алмазосодержащая тефра; VI – Ключевской (2009 г.), алмазосодержащая тефра; VII – Ключевской (кратерное извержение, 2020–2021 гг.), тефра; VIII – Ключевской (кратерное извержение, 2020–2021 гг.), стеклофаза в тефре; IX – Ключевской, прорыв Горшкова (2021 г.), лава, шлаки, бомбы, тефра; X – Ключевской, прорыв Горшкова (2021 г.), стеклофаза в лаве, шлаках, бомбах, тефре; XI – Эйяфьяллайёкюль, Исландия (2010 г.), тефра; XII – Этна, Сицилия (1669 г.), тефра; XIII – Кубре-Вьяха (2021 г.), тефра; XIV – Кубре-Вьяха (2021 г.), стеклофаза в тефре; XV – Кумбрей-Вьяха (2021 г.), шлаки и лава (данные по [Romero et al., 2022]); XVI – Эребус, Антарктида (2000 г.), тефра; XVII – Эребус, Антарктида (2000 г.), стеклофаза в тефре; XVIII – Российский разведочный район в зоне Срединно-Атлантического хребта (отбор в 2019–2020 гг.), лавы, шлаки; XIX, XX – средние составы вулканической стеклофазы соответственно в фумароле Ядовитой (БТТИ) и из газоконденсатов с прорыва Горшкова.

в целом низкий – доконтинентально-коровий – уровень геохимической дифференциации, на что указывают отношения групповых содержаний (центростремительных + минимально-центробежных) и (дефицитно-центробежных + центробежных) элементов. При этом обнаруживается некоторое снижение степени дифференцирован-

ности в направлении от гравийных фракций к песчаным.

На основе геохимических индикаторов можно сделать следующие геодинамические выводы. По соотношению Nb/La и La/Yb исследованная нами тефра соответствует средним показателям для вулканитов внутриплитных океанических остро-

Таблица 1. Микроэлементы в составе тефры с вулкана Кумбре-Вьяха, г/т

Элементы	1	2	3	4	5
Li	7.5	7.5	7.3	7	7.2
Be	2.1	2	2	1.9	2
V	286	287	283	291	291
Cr	250	228	294	295	270
Co	44	41	44	43	42
Ni	95	83	107	101	93
Zn	104	212	270	183	102
Ga	20	20	20	20	20
Ge	4.4	4.4	4.8	4.8	4.6
Rb	34	34	34	33	35
Ba	521	532	512	497	518
Cd	5.3	5.5	5.6	5.5	5.2
Cs	0.42	0.42	0.4	0.39	0.41
Zr	306	306	305	303	306
Hf	8	7.7	7.6	7.7	7.4
Ta	68	75	23	8.2	6.1
W	1.1	1.1	1.1	0.98	1
Nb	75	78	75	73	76
Mo	3.7	3.9	3.4	3.3	3.4
Pb	4.6	5.9	4.8	3.7	3.4
Bi	62	69	18	3.6	1.8
Th	14	14	14	13	14
U	2.5	2.5	2.3	2.2	2.3
Ag	0.87	0.89	0.92	0.9	0.87
Au	4.8	5.3	1.5	0.49	0.28
Ir	0.028	0.033	0.031	0.03	0.034
Pt	0.1	0.097	0.095	0.096	0.092
Rh	0.08	0.076	0.069	0.068	0.069
Pd	3.6	3.6	3.5	3.5	3.6
Sc	24	24	24	26	23
Y	28	28	28	28	28
La	76	75	74	72	73
Ce	148	148	145	141	146
Pr	17	17	17	17	17
Nd	67	67	66	64	65
Sm	12	11	11	11	11
Eu	3.9	3.8	3.8	3.7	3.8
Gd	13	13	12	12	12
Tb	1.5	1.5	1.5	1.5	1.5
Dy	7.1	7	6.9	6.9	6.8
Ho	1.2	1.2	1.2	1.2	1.2
Er	3.3	3.2	3.2	3.2	3.1
Tm	0.4	0.4	0.39	0.38	0.38
Yb	2.4	2.3	2.3	2.3	2.3
Lu	0.36	0.34	0.34	0.34	0.34
Сумма	2333.258	2432.656	2441.045	2296.874	2211.175
Ц ₁	17.04	14.84	18.44	19.29	18.5
Ц ₂	17.83	21.58	23.72	21.81	18.9
Ц ₃	4.13	4.26	2.16	1.66	1.62
Ц ₄	61	59.32	55.68	57.24	60.98
Ц ₃₊₄ /Ц ₁₊₂	1.85	1.75	1.37	1.43	1.67

Примечание. 1 – валовый состав; 2–5 – гранулометрические фракции (мм), соответственно +2 (гравийная), –2 + 1 (пески грубозернистые), –1 + 0.5 (пески крупнозернистые), –0.5 мм (пески средне-мелкозернистые).

Группы элементов по геохимическим свойствам [Щербаков, 1976]: Ц₁ – центростремительные, Ц₂ – минимально-центробежные, Ц₃ – дефицитно-центробежные, Ц₄ – центробежные.

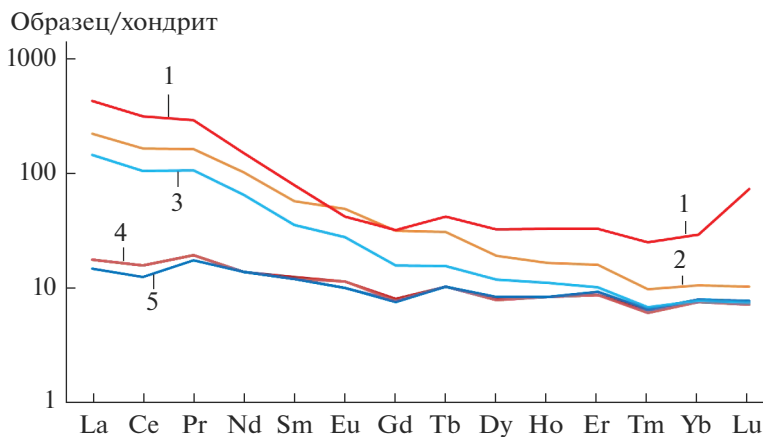


Рис. 6. Хондритнормированные концентрации лантаноидов в вулканических пеплах и тефрах.
1 – Эребус (2002 г.), 2 – Кумбре-Вьяха (2021 г.), 3 – Этна (1645 г.), 4 – Ключевской (кратерное извержение, 2020–2021 гг.),
5 – Ключевской (прорыв Горшкова, 2021 г.)

вов (OIB). В координатах отношений Th/Yb–Ta/Yb и Hf/3–Th–Ta [Wood, 1980] наш образец тоже отвечает внутриплитным вулканам в океанах. На треугольной диаграмме Y/15La/10–Nb/8 [Cabanis, Lecolle, 1989] материала исследованной пробы попадает в поле плюмовых вулканов. В этой связи большой интерес представляют данные по изотопии стронция и неодима. В нашем случае вулканический материал характеризуется следующими значениями изотопных коэффициентов: $^{87}\text{Sr}/^{86}\text{Sr} = 0.703687 \pm 0.000012$; $^{143}\text{Nd}/^{144}\text{Nd} = 0.513086 \pm 0.000009$. Полученные результаты соответствуют магматитам именно мантийного происхождения.

Обращает также на себя внимание высокое содержание в исследуемой тефре сидерофильных элементов – V, Cr, Co, Ni, когерентным основным и ультраосновным магматическим породам. Это можно интерпретировать как следствие выноса перечисленных элементов при дегазации мантии [Дмитриев и др., 1970]. Индикационной является также лантаноидная геохимия. В этом отношении тефра Кумбре-Вьяха по сравнению с пеплами островодужных вулканов, во-первых, характеризуется многократно большей суммарной концентрацией элементов, что типично именно для плюмовых вулканов. А во-вторых, в ней лантаноиды демонстрируют тренд последовательного сокращения хондритнормированных концентраций в направлении от элементов цериевой подгруппы к элементам иттриевой подгруппы (рис. 6), что отражается величиной отношения $\text{La}_N/\text{Ib}_N = 21.8–22.7$. В тефрах островодужных вулканов, как известно, реализуется субгоризонтальный тренд таких концентраций с $\text{La}_N/\text{Ib}_N = 3–4$.

Особый интерес вызывает факт аномального обогащения исследуемой тефры благородны-

ми и платиноидными элементами. Сумма их валовых содержаний достигает 9.5 г/т, снижаясь в направлении от 10 г/т в гравийных фракциях до 5 г/т в мелкозернистых песках. В части золота валовое содержание изменяется в ряду гранулометрических фракций от 5 до 0.3 г/т, из чего следует, что оно в тефре Кумбре-Вьяха в основном присутствует в фазово-гетерогенной форме, т. е. в виде золотин. Следует напомнить, что ранее подобное обогащение отмечалось для плюмовых исландских вулканов [Карпов и др., 2012].

ЛИТОГЕННАЯ ГАЗОВАЯ ФАЗА

Анализ состава литогеной газовой фазы, выделенной нагреванием из исследуемой тефры, привел к следующему результату (мкг/г): $\text{H}_2 = 0.25$; $\text{CO} = 9.76$; $\text{CO}_2 = 88.95$; $\text{H}_2\text{O} = 120$; $\text{CH}_4 = 0.80$; $\text{C}_2\text{H}_4 = 21.37$; $\text{C}_2\text{H}_6 = 0.32$; $(\text{C}_3\text{H}_6 + \text{C}_3\text{H}_8) = 1.55$. Из приведенных данных следует, что состав неорганических компонентов газовой фазы в целом соответствует пограничной области между коровыми и мантийно-коровыми производными, но при этом характеризуется относительно низким содержанием воды (рис. 7). Состав органических газов отличается ранее еще не отмечавшимся в вулканитах преобладанием углеводородов C_2 над суммой $\text{C}_1 + \text{C}_3$.

МИКРОЛИТЫ

Методом рентгенофазового анализа в составе исследуемой тефры диагностированы пять минералов (d_o , Å, в скобках – индексы hkl).

Оливин: 5.11–5.14 (020); 3.90–3.91 (021); 2.99 (002); 2.77–2.79 (130); 2.51–2.52 (131); 2.46–2.47 (112); 2.36 (041); 2.27–2.28 (122); 2.24–2.26 (140); 2.16–2.17 (211).

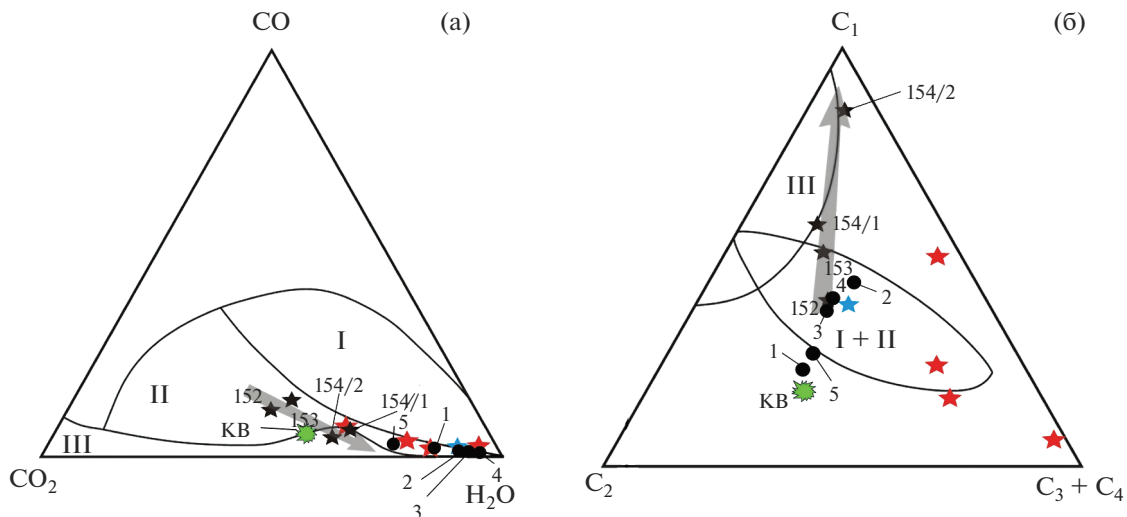


Рис. 7. Состав неорганических (а) и органических (б) литогенных газов в исследованных пеплах.

Области на треугольниках: I – мантийные производные, II – продукты мантийно-коровых взаимодействий, III – коровые образования. Звезды: черные – тефра кратерных извержений вулкана Ключевской (2020 г.); красные – тефра с вулкана Этна (1669 г.); синяя – пепел с вулкана Эребус (2000 г.). Черные круги – продукты побочного извержения вулкана Ключевской (Прорыв Горшкова, 2021 г.): лава (1), шлаки (2–4), бомба (5). KB – тефра с вулкана Кумбрэ-Вьяха.

Клинопироксен: 4.68–4.71 (220); 4.43–4.44 (11–1); 3.64 (111); 3.34–3.35 (021); 3.21–3.22 (220); 2.99–3 (22–1); 2.94–2.95 (310); 2.90 (31–1); 2.55–2.57 (13–1); 2.51–2.54 (002); 2.28–2.30 (311); 2.22 (112); 2.14–2.17 (330); 2.13 (33–1); 2.11 (42–1); 2.03–2.04 (041); 2.02 (40–2); 1.858 (331); 1.832–1.835 (510); 1.816–1.817 (132); 1.770–1.772 (421); 1.745–1.749 (150); 1.683 (15–1); 1.673–1.675 (042); 1.623–1.624 (22–3); 1.612–1.613 (440); 1.593 (530); 1.579 (600); 1.544–1.548 (550).

Амфибол (актинолит): 8.37 (110); 3.13–3.14 (310).

Плагиоклазы: 6.42–8.46 (1–10); 4.68–4.69 (0–22); 4.03–4.05 (–202); 3.76 (1–30); 3.64 (130); 3.18–3.21 (–204); 3.12–3.13 (220); 3.03 (1–32); 2.94–2.95 (0–42); 2.83–2.84 (132); 2.65 (–134); 2.51–2.52 (1–14); 2.13 (220). Микролиты плагиоклазов особенно характерны для фракций средне- и мелкозернистых песков.

Кварц: 4.26 (1–14); 3.34 (101); 2.28 (102); 2.13 (220); 1.544 (211). Обнаружен во фракции крупнозернистых песков.

Результаты СЭМ-исследований (рис. 8, 9) позволяют следующим образом охарактеризовать микролитовую компоненту в тефре Кумбрэ-Вьяха.

Оливин в гравийных частицах представлен субизометричными и несколько вытянутыми индивидами размером $(16 \pm 17) \pm (9 \pm 6)$ мкм, с коэффициентом удлинения 1.59 ± 0.72 . В песчаных частицах индивиды оливина на порядок более крупные, составляя $(145 \pm 175) \times (81 \pm 87)$ мкм, с коэффициентом удлинения 1.48 ± 0.36 . Коэффициент корреляции длины и ширины индивидов

оливина в частицах всех гранулометрических фракций лежит в пределах 0.91–0.99. Составу оливина (табл. 2) отвечает эмпирическая брутто-формула $(\text{Mg}_{1.46-1.67}\text{Fe}_{0.33-0.5}\text{Mn}_{0-0.01}\text{Ca}_{0-0.01})_{1.98-2.03}[\text{SiO}_4]$. В минимальном отношении это соответствует 73–84 мол. % форстерита. Обнаруженная в исследованном минерале примесь кальция типоморфна именно для оливина, кристаллизующегося из фонолитовых и щелочно-пикробазальтовых расплавов [Пономарев, 2014].

Клинопироксены в гравийных частицах наблюдаются в виде вытянутых кристаллов размером $(32 \pm 15) \times (9 \pm 6)$ мкм, с коэффициентом удлинения 6 ± 5 и коэффициентом корреляции между длиной и шириной –0.4. В частицах песчаных фракций индивиды несколько более крупные и при этом менее удлиненные: $(48 \pm 26) \times (20 \pm 10)$ мкм, с коэффициентом удлинения 2.6 ± 1 и коэффициентом корреляции 0.80. Отвечающая химическому составу (табл. 3) эмпирическая брутто-формула имеет вид – $(\text{Ca}_{0.77-0.9}\text{Na}_{0.02-0.08})_{0.84-0.98}(\text{Mg}_{0.53-0.83}\text{Fe}_{0.2-0.3}\text{Ti}_{0.03-0.17}\text{Al}_{0-0.16}\text{Cr}_{0-0.01})_{1.09-1.24}[\text{Si}_{1.53-1.89}\text{Al}_{0.11-0.47}\text{O}_6]$. Это соответствует следующему минимальному составу (мол. %): диопсид = 73 ± 5 ; геденбергит = 27 ± 5 . По содержанию в исследуемой тефре клинопироксены существенно уступают оливину, что свидетельствует о дефиците воды в среде кристаллизации [Giehl et al., 2013]. Последнее вполне соответствует вышеупомянутым экспериментальным данным о составе законсервированной в частицах тефры литогенной газовой фазы.

Плагиоклазы в частицах исследуемой тефры подразделяются по размеру индивидов на две популяции – мелко- и крупнокристаллическую. В

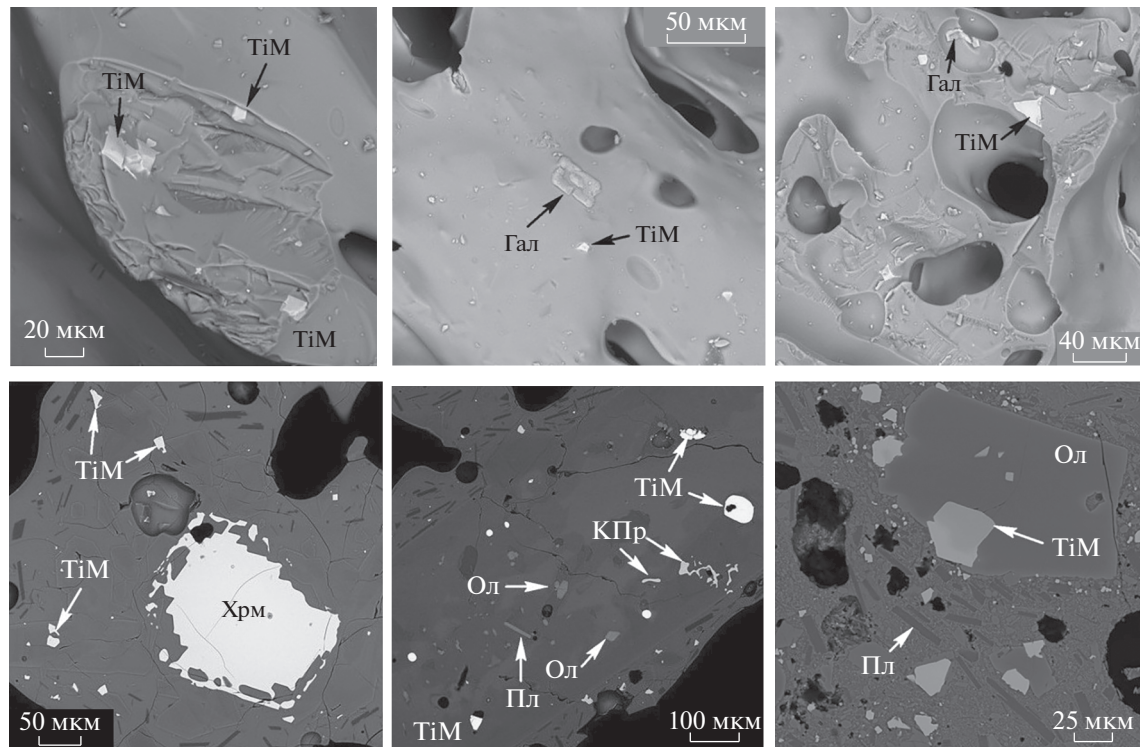


Рис. 8. Микролиты в частицах гравийной фракции.

Хрм – хромшпинелид, Ол – оливин, КПр – клинопироксен, Пл – пластиоклазы, TiM – титаномагнетит, Гал – галит.

Таблица 2. Химический состав (мас. %) и эмпирические формулы оливина

№ п/п	SiO ₂	FeO	MgO	MnO	CaO	Эмпирические формулы	Минальный состав
1	39.14	18.83	41.29	0.37	0.37	(Mg _{1.58} Fe _{0.4} Ca _{0.01} Mn _{0.01}) ₂ [SiO ₄]	Fo ₇₉
2	39.04	18.95	41.18	0.41	0.42	(Mg _{1.58} Fe _{0.4} Ca _{0.01} Mn _{0.01}) ₂ [SiO ₄]	Fo ₇₉
3	39.18	18.51	41.52	0.38	0.41	(Mg _{1.59} Fe _{0.39} Ca _{0.01} Mn _{0.01}) ₂ [SiO ₄]	Fo ₈₀
4	39.4	17.36	42.88	н. о.	0.36	(Mg _{1.63} Fe _{0.37} Ca _{0.01}) _{2.01} [SiO ₄]	Fo ₈₂
5	39.67	16.51	43.53	«	0.29	(Mg _{1.65} Fe _{0.35} Ca _{0.01}) _{2.01} [SiO ₄]	Fo ₈₃
6	39.01	19.62	40.69	0.32	0.36	(Mg _{1.57} Fe _{0.42} Ca _{0.01} Mn _{0.01}) _{2.01} [SiO ₄]	Fo ₇₈
7	39.48	16.16	43.96	н. о.	0.4	(Mg _{1.67} Fe _{0.34} Ca _{0.01}) _{2.02} [SiO ₄]	Fo ₈₄
8	39.72	15.88	44.07	«	0.33	(Mg _{1.66} Fe _{0.33} Ca _{0.01}) ₂ [SiO ₄]	Fo ₈₃
9	38.96	19.25	41.12	0.35	0.32	(Mg _{1.58} Fe _{0.41} Ca _{0.01} Mn _{0.01}) _{2.01} [SiO ₄]	Fo ₇₉
10	38.76	19.45	40.98	0.45	0.36	(Mg _{1.59} Fe _{0.42} Ca _{0.01} Mn _{0.01}) _{2.03} [SiO ₄]	Fo ₇₉
11	39.61	15.99	43.87	0.24	0.29	(Mg _{1.66} Fe _{0.34} Ca _{0.01}) _{2.01} [SiO ₄]	Fo ₈₃
12	39.52	15.99	43.87	0.32	0.3	(Mg _{1.67} Fe _{0.34} Ca _{0.01} Mn _{0.01}) _{2.03} [SiO ₄]	Fo ₈₄
13	37.91	24.05	36.96	0.61	0.47	(Mg ₁₄₆ Fe _{0.5} Ca _{0.01} Mn _{0.01}) _{1.98} [SiO ₄]	Fo ₇₃
14	39.06	18.27	42.02	0.3	0.35	(Mg _{1.61} Fe _{0.39} Ca _{0.01} Mn _{0.01}) _{2.02} [SiO ₄]	Fo ₇₉

Примечание. н. о. – не обнаружен.

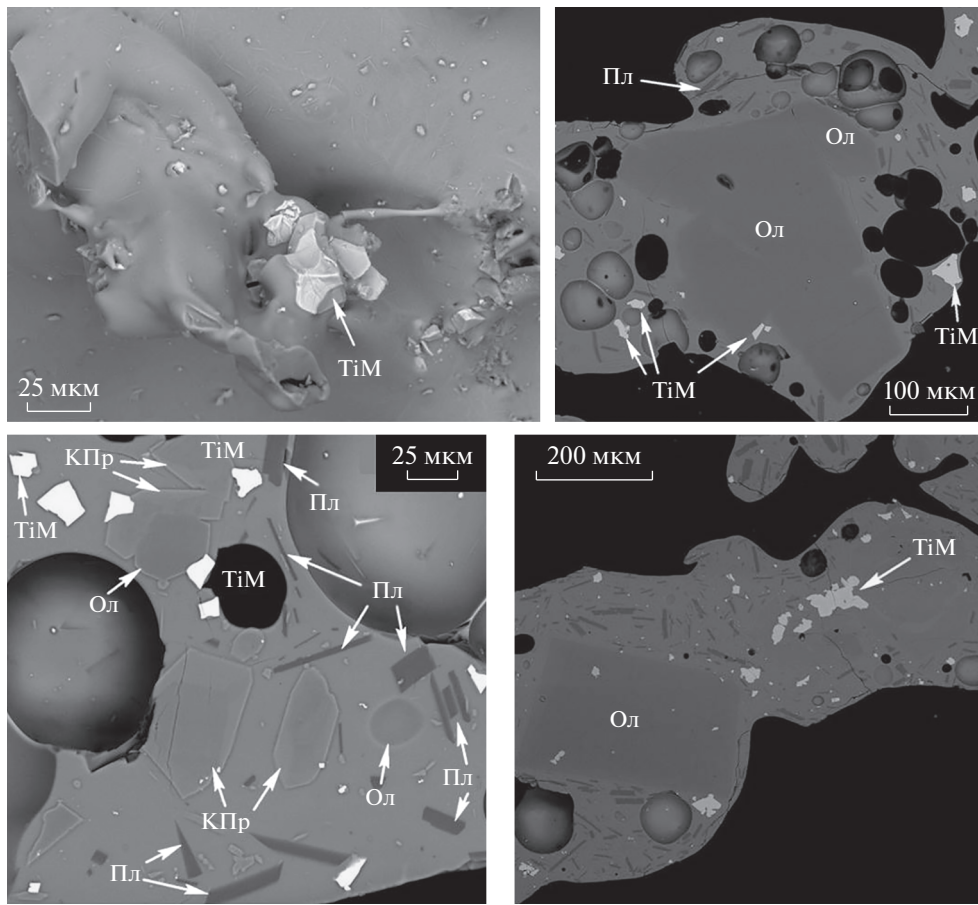


Рис. 9. Микролиты в частицах песчаных фракций. Условные обозначения минералов см. рис. 8.

гравийных частицах размер мелких кристаллов лежит в пределах $(24 \pm 14) \times (3 \pm 1.7)$ мкм, коэффициент удлинения составляет 9 ± 7 , коэффициент корреляции между длиной и толщиной составляет 0.47 . Размер крупных кристаллов достигает $(703 \pm 185) \times (83 \pm 40)$ мкм при коэффициенте удлинения 11 ± 7 , корреляции между длиной и толщиной в этом случае не обнаружено. В песчаных частицах размер мелких кристаллов составляет $(15 \pm 9) \times (2 \pm 3)$ мкм при коэффициенте удлинения 12 ± 7 и коэффициенте корреляции 0.74 . Крупные кристаллы здесь по размеру варьируются в пределах $(34 \pm 14) \times (6 \pm 3)$ мкм при коэффициенте удлинения 9 ± 8 и коэффициенте корреляции -0.27 . Соответствующая химическому составу (табл. 4) эмпирическая брутто-формула плагиоклазов определяется как $(\text{Ca}_{0.45-0.66}\text{Na}_{0.34-0.55})[\text{Al}_{1.45-1.66}\text{Si}_{2.34-2.55}\text{O}_8]$, что в минальном выражении отвечает An_{45-66} . В смысле разновидностей исследованные плагиоклазы эквипропорционально представлены андезином и лабрадором. Судя по составу породообразующих минералов, эвтектоидный расплав мог характеризоваться температурой $1400-1500^\circ\text{C}$ и давлением $0.5-1$ ГПа [Green, Ringwood, 1967].

Титаномагнетит наблюдается в виде идиоморфных и угловато-неправильных индивидов. В гравийных частицах их размер находится в пределах $(23 \pm 37) \times (17 \pm 31)$ мкм с коэффициентом удлинения 1.6 ± 0.7 и коэффициентом корреляции между измерениями 0.99 . В песчаных частицах размер индивидов составляет $(25 \pm 25) \times (16 \pm 18)$ мкм с коэффициентом удлинения 1.78 ± 0.82 и коэффициентом корреляции 0.95 . Анализ химического состава (табл. 5) привел к выводу о том, что исследованный титаномагнетит представляет собой фазово-гомогенные твердые растворы ильменита в поликомпонентном магнетите с брутто-формулой $(0.72 \pm 0.09)(\text{Fe}_{0.39-0.96}\text{Mg}_{0.02-0.61}\text{Mn}_{0-0.04}\text{Ni}_{0-0.61})(\text{Fe}_{0.49-1.68}\text{Al}_{0.16-0.86}\text{Cr}_{0-0.65}\text{V}_{0-0.03})_2\text{O}_4 + (0.28 \pm 0.09)\text{FeTiO}_3$. Именно такие твердые растворы и характерны для плюмовых вулканов [Грачев и др., 2011]. Полученные нами данные хорошо проецируются на статистику титанистости такого рода магнетитов (рис. 10). По геотермометру Линдсли [Spenser, Lindcley, 1981] выявленные в тефре Кумбре-Вьяха титаномагнетитовые твердые растворы кристаллизовались при температуре выше 900°C . Судя по отсутствию признаков распада, ильменит-магнетитовых твердых растворов образовались на зна-

Таблица 3. Химический состав (мас. %) и эмпирические формулы клинопироксенов

№ п/п	SiO ₂	TiO ₂	Al ₂ O ₃	FeO	MnO	MgO	CaO	Na ₂ O	Эмпирические формулы
1	45.15	3.54	8.28	7.62	н.о.	12.67	22.14	0.6	(Ca _{0.9} Na _{0.03}) _{0.93} (Mg _{0.72} Fe _{0.24} Ti _{0.05} Al _{0.08} Cr _{0.01}) _{1.1} [Si _{1.72} Al _{0.28} O ₆]
2	47.54	2.86	5.6	7.88	«	13.66	22.04	0.42	(Ca _{0.88} Na _{0.03}) _{0.91} (Mg _{0.76} Fe _{0.24} Ti _{0.08} Al _{0.01}) _{1.09} [Si _{1.76} Al _{0.24} O ₆]
3	41.65	5.94	10.59	8.68	«	10.68	21.83	0.63	(Ca _{0.88} Na _{0.04}) _{0.92} (Mg _{0.6} Fe _{0.27} Ti _{0.17} Al _{0.03}) _{1.07} [Si _{1.57} Al _{0.43} O ₆]
4	41.91	5.16	10.41	8.67	«	11.05	22.26	0.54	(Ca _{0.89} Na _{0.04}) _{0.93} (Mg _{0.62} Fe _{0.27} Ti _{0.14} Al _{0.03}) _{1.06} [Si _{1.57} Al _{0.43} O ₆]
5	50.44	1.94	3.94	6.66	«	15.04	21.57	0.41	(Ca _{0.85} Na _{0.03}) _{0.88} (Mg _{0.76} Fe _{0.2} Ti _{0.05} Al _{0.03}) _{1.04} [Si _{1.89} Al _{0.11} O ₆]
6	43.17	5.92	12.44	9.46	«	9.53	18.53	0.95	(Ca _{0.77} Na _{0.07}) _{0.84} (Mg _{0.53} Fe _{0.29} Ti _{0.17} Al _{0.16}) _{1.15} [Si _{1.62} Al _{0.38} O ₆]
7	40.67	5.75	11.66	9.59	«	9.81	21.75	0.77	(Ca _{0.88} Na _{0.05}) _{0.93} (Mg _{0.55} Fe _{0.3} Ti _{0.16} Al _{0.05}) _{1.06} [Si _{1.53} Al _{0.47} O ₆]
8	45.37	3.54	8.13	7.7	«	12.34	22.39	0.53	(Ca _{0.9} Na _{0.04}) _{0.94} (Mg _{0.69} Fe _{0.24} Ti _{0.1} Al _{0.05}) _{1.08} [Si _{1.7} Al _{0.3} O ₆]
9	42.02	5.35	10.32	8.63	«	10.64	22.47	0.57	(Ca _{0.9} Na _{0.04}) _{0.94} (Mg _{0.6} Fe _{0.27} Ti _{0.15} Al _{0.03}) _{1.05} [Si _{1.58} Al _{0.42} O ₆]
10	46.88	2.88	7.09	7.39	«	13.21	22.01	0.54	(Ca _{0.87} Na _{0.04}) _{0.91} (Mg _{0.73} Fe _{0.23} Ti _{0.04} Al _{0.04}) _{1.04} [Si _{1.73} Al _{0.27} O ₆]
11	49.81	1.88	4.23	6.7	«	15.11	21.92	0.35	(Ca _{0.86} Na _{0.02}) _{0.88} (Mg _{0.83} Fe _{0.2} Ti _{0.03} Al _{0.1}) _{1.24} [Si _{1.82} Al _{0.18} O ₆]
12	43.91	4.41	8.93	8.62	«	11.68	21.94	0.51	(Ca _{0.88} Na _{0.04}) _{0.92} (Mg _{0.65} Fe _{0.27} Ti _{0.12} Al _{0.04}) _{1.08} [Si _{1.64} Al _{0.36} O ₆]
13	46.8	2.79	7.12	7.28	«	12.95	22.52	0.54	(Ca _{0.89} Na _{0.04}) _{0.93} (Mg _{0.72} Fe _{0.22} Ti _{0.08} Al _{0.04}) _{1.06} [Si _{1.73} Al _{0.27} O ₆]
14	40.97	5.7	11.04	8.86	«	10.52	22.36	0.55	(Ca _{0.9} Na _{0.04}) _{0.94} (Mg _{0.59} Fe _{0.28} Ti _{0.16} Al _{0.03}) _{1.06} [Si _{1.72} Al _{0.28} O ₆]
15	45.14	3.76	8.17	7.45	«	12.46	22.48	0.54	(Ca _{0.88} Na _{0.04}) _{0.92} (Mg _{0.69} Fe _{0.23} Ti _{0.1} Al _{0.03}) _{1.05} [Si _{1.68} Al _{0.32} O ₆]
16	47.32	2.58	7.21	7.54	«	12.78	22.14	0.43	(Ca _{0.88} Na _{0.03}) _{0.91} (Mg _{0.71} Fe _{0.23} Ti _{0.04} Al _{0.07}) _{1.05} [Si _{1.76} Al _{0.24} O ₆]
17	46.6	3.46	5.82	8.68	0.28	13.22	21.77	0.45	(Ca _{0.87} Na _{0.03}) _{0.9} (Mg _{0.74} Fe _{0.27} Ti _{0.1}) _{1.11} [Si _{1.74} Al _{0.26} O ₆]
18	46.52	2.43	6.64	9.56	н.о.	11.17	22.23	1.17	(Ca _{0.89} Na _{0.08} Mn _{0.01}) _{0.98} (Mg _{0.62} Fe _{0.3} Ti _{0.07} Al _{0.03}) _{1.02} [Si _{1.74} Al _{0.26} O ₆]
19	45.14	3.75	8.17	7.45	«	12.46	24.48	0.55	(Ca _{0.9} Na _{0.04}) _{0.94} (Mg _{0.69} Fe _{0.23} Ti _{0.1} Al _{0.03}) _{1.05} [Si _{1.68} Al _{0.32} O ₆]
20	47.18	2.57	7.19	7.52	«	12.74	22.08	0.72	(Ca _{0.88} Na _{0.05}) _{0.93} (Mg _{0.71} Fe _{0.23} Ti _{0.07} Al _{0.06}) _{1.1} [Si _{1.75} Al _{0.25} O ₆]
21	46.6	3.46	5.83	8.72	«	13.22	21.77	0.4	(Ca _{0.87} Na _{0.03}) _{0.9} (Mg _{0.74} Fe _{0.27} Ti _{0.1}) _{1.1} [Si _{1.74} Al _{0.26} O ₆]

Таблица 4. Химический состав (мас. %) и эмпирические формулы плагиоклазов

№ п/п	SiO ₂	Al ₂ O ₃	CaO	Na ₂ O	Эмпирические формулы
1	52.01	30.37	12.87	4.75	(Ca _{0.63} Na _{0.37})[Al _{1.63} Si _{2.37} O ₈] (An ₆₃)
2	53.02	31.79	9.54	5.65	(Ca _{0.48} Na _{0.52})[Al _{1.48} Si _{2.52} O ₈] (An ₄₈)
3	51.49	31.11	13.52	3.88	(Ca _{0.66} Na _{0.34})[Al _{1.66} Si _{2.34} O ₈] (An ₆₆)
4	53.71	29.08	12.13	5.08	(Ca _{0.55} Na _{0.45})[Al _{1.55} Si _{2.45} O ₈] (An ₅₅)
5	56.68	27.57	9.49	6.26	(Ca _{0.46} Na _{0.54})[Al _{1.46} Si _{2.54} O ₈] (An ₄₆)
6	56.83	27.42	9.4	6.35	(Ca _{0.45} Na _{0.55})[Al _{1.45} Si _{2.55} O ₈] (An ₄₅)
7	52.37	29.90	13.31	4.42	(Ca _{0.6} Na _{0.4})[Al _{1.61} Si _{2.39} O ₈] (An ₆₀)
8	56.13	27.42	10.33	6.12	(Ca _{0.47} Na _{0.53})[Al _{1.47} Si _{2.53} O ₈] (An ₄₇)

Таблица 5. Химический (мас. %) и минальный (мол. %) состав шпинелидов

ТЕФРА С ОСТРОВНОГО ВНУТРИПЛИТНО-ОКЕАНИЧЕСКОГО ВУЛКАНА

57

№ п/п	Компоненты состава, мас. %							Миналы, мол. %												
	Fe ₂ O ₃	Al ₂ O ₃	Cr ₂ O ₃	TiO ₂	NiO	MnO	MgO	V ₂ O ₅	MgAl ₂ O ₄	Шпинель	Галаксит	MgFe ₂ O ₄	FeCr ₂ O ₄	Магноферрит	Феррохромит	Магнетит	Купелонит	FeV ₂ O ₄	Треворит	NiFe ₂ O ₄
1	68.78	8.68	1.13	14.1	0.58	6.18	0.55	24	1	21	2	51	1	0	0	0	0	0	0	0
2	69.82	6.33	16.25	0.68	0.68	6.14	0.78	16.5	3	31.5	0	47.5	1.5	1	0	0	0	0	0	0
3	67.46	8.4	1.0	15.73	»	0.62	6.25	0.54	22	3	25	2	47	1	0	0	0	0	0	0
4	72.77	7.23	0.3	13.09	»	0.31	5.88	0.42	19.5	1	22.5	0.5	56	0.5	0	0	0	0	0	0
5	61.67	11.12	5.5	14.7	»	0.52	5.99	0.5	29.5	2	13.5	10.5	43.5	1	0	0	0	0	0	0
6	70.96	4.93	H. o.	15.82	»	0.48	7.26	0.55	13	2	42	0	42	1	0	0	0	0	0	0
7	67.97	9.92	0.41	16.32	»	0.48	4.25	0.65	11	2	5	1	80	1	0	0	0	0	0	0
8	61.03	13.98	H. o.	16.57	»	0.45	7.37	0.6	38	2	16	0	43	1	0	0	0	0	0	0
9	62.18	14.02	0.41	15.18	»	0.44	7.19	0.58	37	2	14	1	45	1	0	0	0	0	0	0
10	65.54	8.83	H. o.	19.77	»	0.45	4.64	0.77	26.5	2	13.5	0	56.5	1.5	0	0	0	0	0	0
11	60.53	14.53	4.33	13.03	»	H. o.	6.86	0.72	38.5	0	7.5	7.5	45.5	1	0	0	0	0	0	0
12	78.69	3.52	16.14	0.45	0.79	»	0.41	H. o.	2	0	0	25	65	0	0	0	0	0	0	0
13	67.91	6.43	H. o.	17.42	H. o.	»	7.56	0.68	20	0	39	0	40	1	0	0	0	0	0	0
14	65.27	6.91	»	20.11	»	»	6.95	0.76	22.5	0	36.5	0	39.5	1.5	0	0	0	0	0	0
15	66.61	6.62	»	18.72	»	0.64	6.76	0.65	18.5	3	37.5	0	40	1	0	0	0	0	0	0
16	49.41	17.77	12.4	9.31	»	H. o.	10.48	0.63	40.5	0	20.2	19	19.3	1	0	0	0	0	0	0
17	63.88	5.1	2.41	21.9	»	0.78	5.93	H. o.	14.5	4	39.5	6	36	0	0	0	0	0	0	0
18	38.33	21.25	25.76	3.92	»	H. o.	10.74	»	43	0	12	32.5	12.5	0	0	0	0	0	0	0
19	64.05	6.32	3.42	17.63	»	0.72	6.89	0.97	16.5	3	38.5	7	33.5	1.5	0	0	0	0	0	0
20	67.43	6.42	H. o.	18.36	»	0.52	6.72	0.55	20.5	2	34.5	0	42	1	0	0	0	0	0	0
21	66.34	7.88	1.81	16.38	»	»	6.97	0.62	23.5	0	29.5	3.5	42.5	1	0	0	0	0	0	0
22	66.39	6.37	H. o.	19.69	»	0.52	6.81	0.22	17	2	38	0	42.5	0.5	0	0	0	0	0	0
23	70.14	4.92	»	17.28	»	H. o.	7.25	0.41	15.5	0	42.5	0	41.5	0.5	0	0	0	0	0	0
24	67.55	6.67	»	17.16	»	0.5	7.47	0.65	18.5	2	39.5	0	39	1	0	0	0	0	0	0
25	66.85	7.67	»	16.93	»	0.51	7.53	0.51	21	2	37	0	39	1	0	0	0	0	0	0
Среднее	65.1	8.87	3.0	15.43	0.03	0.37	6.66	0.53	22.76	1.52	26.23	4.76	44.47	0.9	0.08	0	0	0	0	0
СКО	7.65	4.32	6.21	4.78	0.16	0.27	1.9	0.25	10.06	1.43	13.11	8.54	13.57	0.43	0.4	0	0	0	0	0

Примечание. Эмпирические формулы: 1 – 0.75(Fe_{0.53}Mn_{0.02})(Fe_{1.45}Al_{0.49}Cr_{0.04}V_{0.02})₂ + 0.25FeTiO₃; 2 – 0.7(Fe_{0.49}Mg_{0.48}Mn_{0.03})(Fe_{1.58}Al_{0.39}V_{0.03})₂ + 0.3FeTiO₃; 3 – 0.72(Fe_{0.5}Mg_{0.47}Mn_{0.03})(Fe_{1.44}Al_{0.5}Cr_{0.04}V_{0.02})₂ + 0.28FeTiO₃; 4 – 0.76(Fe_{0.57}Mg_{0.42}Mn_{0.01})(Fe_{1.57}Al_{0.41}Cr_{0.01}V_{0.01})₂ + 0.24FeTiO₃; 5 – 0.73(Fe_{0.55}Mg_{0.43}Mn_{0.02})(Fe_{1.56}Al_{0.4}Cr_{0.02}V_{0.02})₂ + 0.3FeTiO₃; 6 – 0.71(Fe_{0.43}Al_{0.63}Cr_{0.21}V_{0.02})₂ + 0.27FeTiO₃; 7 – 0.7(Fe_{0.43}Al_{0.65}Mg_{0.33}Mn_{0.02})(Fe_{1.56}Al_{0.6}Cr_{0.02}V_{0.02})₂ + 0.29FeTiO₃; 8 – 0.71(Fe_{0.44}Al_{0.54}Mg_{0.54}Mn_{0.02})(Fe_{1.51}Al_{0.78}Cr_{0.02}V_{0.02})₂ + 0.26FeTiO₃; 9 – 0.74(Fe_{0.47}Mg_{0.51}Mn_{0.02})(Fe_{1.58}Al_{0.78}Cr_{0.02}V_{0.02})₂ + 0.23Mn_{0.02}(Fe_{1.58}Al_{0.64}Cr_{0.02}V_{0.02})₂ + 0.36FeTiO₃; 10 – 0.77(Fe_{0.34}Mg_{0.46})(Fe_{1.06}Al_{0.77}Cr_{0.15}V_{0.02})₂ + 0.23Mn_{0.02}(Fe_{1.34}Al_{0.6}Cr_{0.5})₂ + 0.01FeTiO₃; 11 – 0.77(Fe_{0.34}Mg_{0.46})(Fe_{1.06}Al_{0.77}Cr_{0.15}V_{0.02})₂ + 0.23Mn_{0.02}(Fe_{1.34}Al_{0.6}Cr_{0.5})₂ + 0.01FeTiO₃; 12 – 0.99(Fe_{0.96}Mg_{0.06}Mn_{0.02})(Fe_{1.55}Al_{0.43}V_{0.02})₂ + 0.66(Fe_{0.41}Mg_{0.56}Mn_{0.03})(Fe_{1.55}Al_{0.43}V_{0.02})₂ + 0.34FeTiO₃; 13 – 0.99(Fe_{0.45}Mg_{0.55}Mn_{0.04})(Fe_{1.51}Al_{0.37}Cr_{0.12})₂ + 0.4FeTiO₃; 14 – 0.93(Fe_{0.49}Al_{0.58}Cr_{0.06}V_{0.02})₂ + 0.37FeTiO₃; 15 – 0.66(Fe_{0.6}Al_{0.38}Cr_{0.12})₂ + 0.37FeTiO₃; 16 – 0.85(Fe_{0.39}Mg_{0.61})(Fe_{0.79}Al_{0.81}Cr_{0.38}V_{0.02})₂ + 0.15FeTiO₃; 17 – 0.6(Fe_{0.42}Al_{0.54}Mg_{0.55}Mn_{0.03})(Fe_{1.44}Al_{0.39}Cr_{0.14}V_{0.03})₂ + 0.32FeTiO₃; 18 – 0.93(Fe_{0.49}Al_{0.58}Cr_{0.06}V_{0.02})₂ + 0.4FeTiO₃; 19 – 0.68(Fe_{0.42}Al_{0.55}Mg_{0.55}Mn_{0.02})(Fe_{1.57}Al_{0.42}V_{0.01})₂ + 0.36FeTiO₃; 20 – 0.67(Fe_{0.43}Al_{0.41}Mg_{0.55}Mn_{0.02})(Fe_{1.57}Al_{0.42}V_{0.01})₂ + 0.33FeTiO₃; 21 – 0.71(Fe_{0.47}Al_{0.41}Mg_{0.53}Mn_{0.02})(Fe_{1.57}Al_{0.42}V_{0.01})₂ + 0.34FeTiO₃; 22 – 0.64(Fe_{0.44}Al_{0.47}Cr_{0.12}V_{0.02})₂ + 0.29FeTiO₃; 23 – 0.69(Fe_{0.42}Al_{0.58}Mn_{0.02})(Fe_{1.68}Al_{0.31}V_{0.01})₂ + 0.31FeTiO₃; 24 – 0.69(Fe_{0.4}Mg_{0.58}Mn_{0.02})(Fe_{1.57}Al_{0.41}V_{0.02})₂ + 0.32FeTiO₃; 25 – 0.7(Fe_{0.4}Mg_{0.58}Mn_{0.02})(Fe_{1.52}Al_{0.46}V_{0.02})₂ + 0.3FeTiO₃.

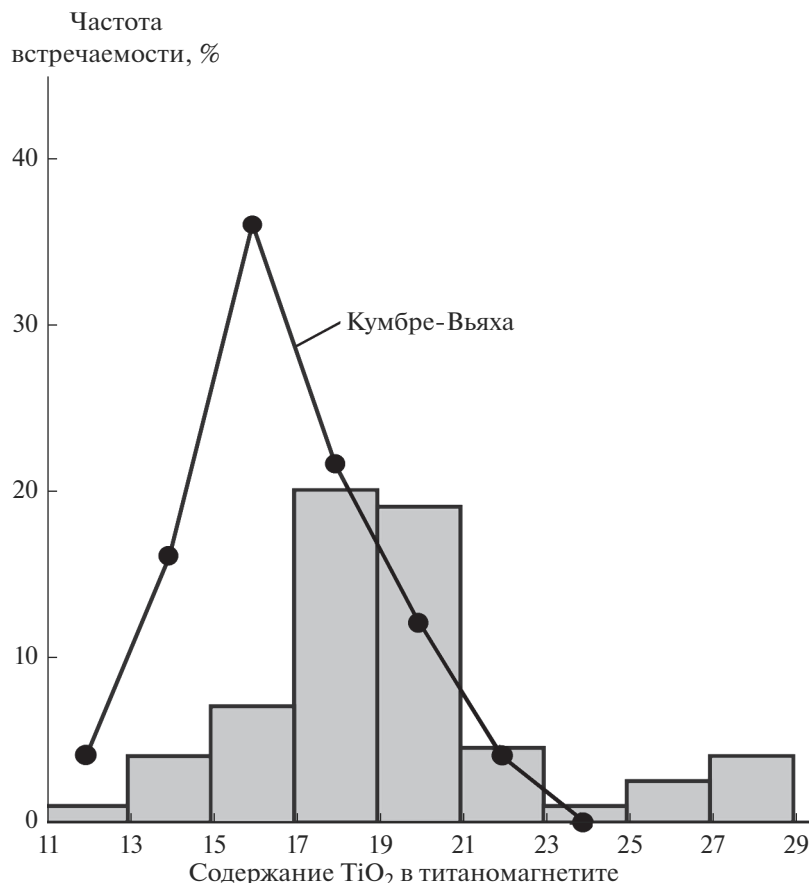


Рис. 10. Распределение TiO₂ в титаномагнетитовых твердых растворах, обнаруженных в тефре Кумбре-Вьяха (вариационная линия), на фоне общей статистики [Грачев и др., 2011].

чительной глубине и затем были молниеносно эвакуированы на земную поверхность. В минальный состав магнетитовой основы исследованных твердых растворов входят (в скобках содержания в мол. %) магнетит (44.47 ± 13.57), шпинель (22.76 ± 10.06), галаксит (1.52 ± 1.43), магнезиоферрит (26.23 ± 13.1), феррихромит (4.76 ± 8.54), кулсонит (0.9 ± 0.43), треворит (0.08 ± 0.4). Средние пропорции между группами миналов разной плотности определяются в следующем виде (мол. %): высокоплотные (шпинель + галаксит) — 24.48; умеренно-высокоплотные (магнезиоферрит + феррихромит) — 30.99; относительно низкоплотные (магнетит + колсунит + треворит) — 45.55. Показательно, что между группами плотных и низкоплотных миналов реализуется аналитически-отрицательная корреляция с коэффициентом -0.99 . Выявленный факт явного обогащения титаномагнетита высокоплотными миналами, очевидно, подтверждает его кристаллизацию на значительных глубинах.

Хромшипинелиды обнаружены только в гравийных частицах в виде единичных зерен неправильной формы на порядок более крупного размера,

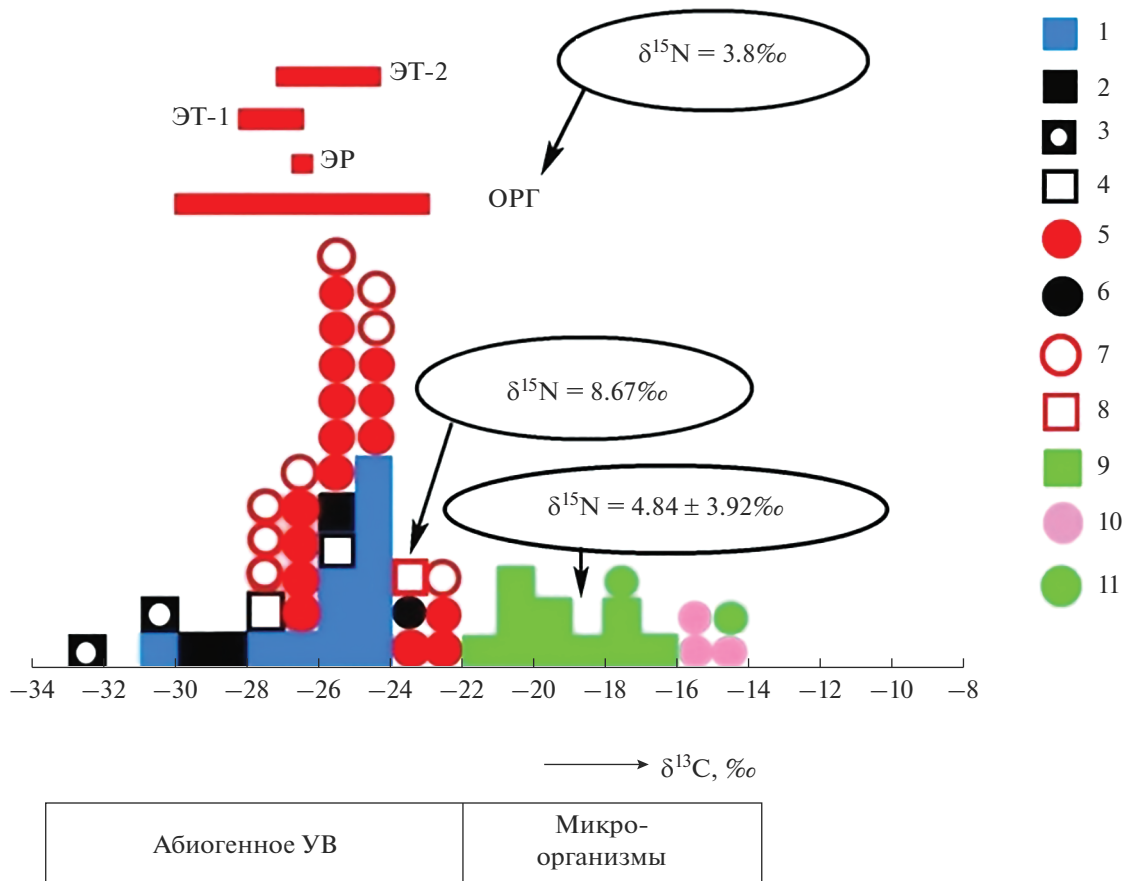
чем кристаллы титаномагнетита: $(287 \pm 190) \times (127 \times 77)$ мкм с коэффициентом удлинения 1.85 ± 1.04 и коэффициентом корреляции между длиной и шириной 0.85. Брутто-формула минерала — $(\text{Fe}_{0.39-0.96}\text{Mg}_{0.02-0.61}\text{Ni}_{0.09-0.02})(\text{Fe}_{0.39-1.34}\text{Cr}_{0.35-0.65}\text{Al}_{0.16-0.86}\text{V}_{0-0.02})_2\text{O}_4$. Мольная пропорция $\text{MgCr}_2\text{O}_4/\text{FeCr}_2\text{O}_4$ варьируется в пределах 0.35—1.

Кроме отмеченных выше минералов, в частицах тефры обнаружены галит, фазы никель-меди-стого самородного железа $\text{Fe}_{0.63-0.92}\text{Ni}_{0.04-0.05}\text{Cu}_{0.03-0.33}$, гидроксил-хлориды состава $(\text{Na}_{0.91-0.96}\text{K}_{0-0.01}\text{Ca}_{0.02-0.04}\text{Fe}_{0.01-0.04})\text{Cl}_{0.67-0.82}(\text{OH})_{0.26-0.36}$ и единичные зерна кварца.

УГЛЕРОДНОЕ ВЕЩЕСТВО

В исследованной тефре выявлено содержание C_{опр} в пределах 0.05—0.1 мас. %, обусловленное присутствием дисперсно-рассеянного углеродного вещества. Изотопный состав углерода ($\delta^{13}\text{C}_{\text{PDB}}, \text{\textperthousand}$) в нем варьируется в пределах от -30 до $-24\text{\textperthousand}$, имея тенденцию к облегчению в направлении от гравийной фракции к песчано-мел-

(а)



(б)

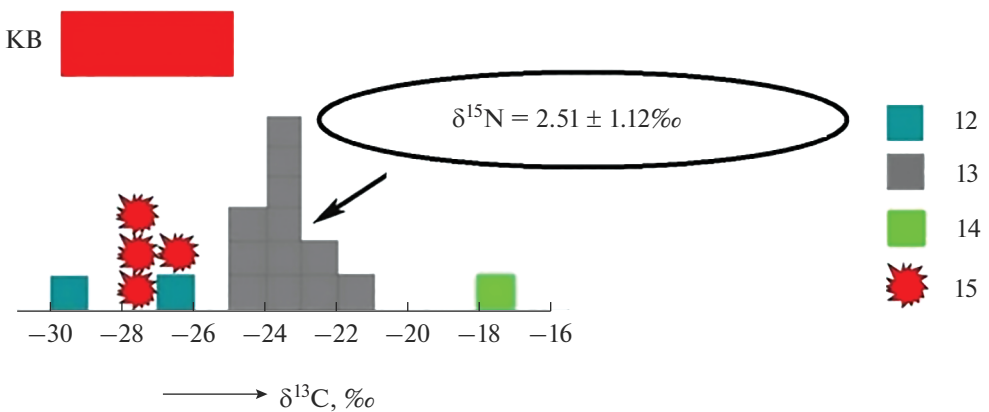


Рис. 11. Изотопный состав углерода в продуктах современного вулканизма на Камчатке и в современных микроорганизмах (а) в сравнении с продуктами вулканизма и рудообразования в рифтовой зоне Срединно-Атлантического хребта и в тефре вулкана Кумбре-Вьяха (б). а – 1–8 – углеродные фазы и минералы, соответственно дисперсно-рассеянное углеродное вещество в вулканитах (1), частицы шунгитоподобного вещества (2), парафиноподобная фаза (3), частицы самородного алюминия с включениями углеродного вещества (4), алмазы (5), диуглеродные глобулы (6), карбиды (7), углеродное вещество в фумароле “Ядовитой” (8); 9–11 – микроорганизмы, соответственно бактерии (9), дрожжи (10) и хлорелла (11). Рамками показаны диапазоны варьирования изотопного состава углерода в вулканогенных органоидах с Камчатки (ОРГ), в дисперсно-рассеянном углероде в вулканитах Эребуса (ЭР) и Этны (ЭТ-1), в органоидах из тефры Этны (ЭТ-2); б – 12 – дисперсно-рассеянное углеродное вещество в магматитах, 13 – углеродизированные шлаки, 14 – биогенное органическое вещество на поверхности шлаковых частиц, 15 – дисперсное углеродное вещество в сульфидных рудах с гидротермальных полей САХ – Ашадзе 1, Ашадзе 2, Зенит-Виктория, Коралловое, Краснов, Молодежное, Петербургское, Победа 1, Семенов; КВ – то же в тефре вулкана Кумбре-Вьяха.

козернистый (%): валовая проба = –26.32, гравийные фракции = –26.83...–24.92, песок грубозернистый = –27.51, песок крупнозернистый = –28.96, песок среднезернистый = –27.33, песок мелкозернистый = –29.35. На генеральной диаграмме (рис. 11) изотопные данные по углероду в тефре Кумбре-Вьяхи вполне совпадают с диапазоном изотопного варьирования абиогенного углерода в продуктах континентального и океанического вулканизма [Силаев и др., 2018, 2019б, 2022].

ЗАКЛЮЧЕНИЕ

Проведенные нами комплексные минералого-геохимические исследования представительной пробы тефры с вулкана Кумбре-Вьяха (извержение 2020–2021 гг.), показали, что она имеет гравийно-псаммитовый гранулометрический состав, а частицы характеризуются аномально высокой степенью везикулярности. По валовому химическому составу эта тефра соответствует переходу от щелочных пикробазальтов к щелочным базальтам, принципиально отличаясь от пеплов тефры окраинно-континентальных вулканов (базальты, андезибазальты и андезиты) высоким содержанием магния и аномальной щелочностью. Наряду с этим тефра Кумбре-Вьяха по общему химизму сходна с продуктами океанического вулканизма в зоне Срединного-Атлантического хребта, отличаясь от них только повышенной (в 2–3 раза) щелочностью.

В составе исследованной тефры обнаружено 45 микроэлементов с валовым содержанием до 2333 г/т, что превышает таковое в тефрах острорудужных вулканов. По соотношению геохимических критериев тефра с Кумбре-Вьяха соответствует средним показателям для внутриплитных вулканов в океанах. Геохимической особенностью изученной тефры является сильное обогащение лантаноидами, благородными и платиноидными металлами. Сумма содержаний продуктивных металлов достигает 9.5 г/т, что сопоставимо с соответствующими оруденениями месторождений вулканогенно-гидротермального типа.

В составе литогенной газовой фазы, выделенной нагреванием из исследуемой тефры, установлены H_2 , CO , CO_2 , H_2O , CH_4 , C_2H_4 , C_2H_6 , C_3H_6 , C_3H_8 . Пропорции между неорганическими компонентами в газовой фазе в целом соответствуют пограничной области между коровыми и мантийно-коровыми производными, но при этом обнаруживается относительно низкое содержание воды. Состав органических газов отличается ранее еще не отмечавшимся в тефрах островоружных вулканов преобладанием углеводородов C_2 над суммой $\text{C}_1 + \text{C}_3$.

В составе микролитов выявлены и изучены оливин состава Fo_{73-84} , существенно диопсидовый клинопироксен, плагиоклазы состава андезин-битовнит, хромшпинелиды, фазово-гомогенные твердые растворы ильменита в магнетите, фазы Ni-Cu-содержащего самородного железа, кварц, натриевые гидроксил-хлориды. Кроме того, в тефре Кумбре-Вьяха обнаружено дисперсно-рассеянное углеродное вещество с изотопным составом углерода $\delta^{13}\text{C}_{\text{PDB}} = -30...-24\%$, что соответствует изотопному составу углерода в абиогенных углеродных веществах вулканогенного происхождения.

Вся совокупность результатов минерало-геохимических исследований характеризует вулкан Кумбре-Вьяха как типичного представителя внутриплитно-оceanических плутоновых вулканов.

БЛАГОДАРНОСТИ

Авторы глубоко признательны А.В. Шевченко (ИВиС ДВО РАН; GFZ, ФРГ) и ее коллегам в Потсдамском центре имени Гельмгольца, ФРГ, за передачу нам на исследования пробы тефры, отобранный на вулкане Кумбре-Вьяха сразу после его извержения в 2021 г. За техническую помощь в подготовке материала авторы благодарят К.В. Тарасова (ИВиС ДВО РАН).

СПИСОК ЛИТЕРАТУРЫ

- Гордеев Е.И., Бергаль-Кувикас О.В.* Строение и вулканизм зоны субдукции на Камчатке // Докл. РАН. 2022. Т. 502. № 2. С. 72–76.
- Гордеев Е.И., Карпов Г.А.* Фундаментальные достижения академической науки в исследованиях вулканов и землетрясений на Камчатке // Вулканология и сейсмология. 2022. № 4. С. 4–16.
- Грачев А.Ф.* Идентификация мантийных плюмов на основе изучения вещественного состава вулканитов и их изотопно-геохимических характеристик // Петрология. 2003. Т. 11. № 6. С. 618–654.
- Грачев А.Ф., Печорский Д.М., Цельмович В.А.* Титаномагнетиты и ильмениты из раннепротерозойских базальтов и лимбургитов Северного Тянь-Шаня // Физика Земли. 2011. № 6. С. 13–25.
- Дмитриев Л.В., Барсуков В.Л., Удинцев Г.Б.* Рифтовые зоны океана и проблема рудообразования // Геохимия. 1970. № 8. С. 935–944.
- Карпов Г.А., Аниkin Л.П., Николаева А.Г.* Самородные металлы и интерметаллиды в пеплах действующих вулканов Камчатки и Исландии // Материалы конференции, посвященной Дню вулканолога: “Вулканизм и связанные с ним процессы”. Петропавловск-Камчатский: ИВиС ДВО РАН, 2012. С. 183–187.
- Карпов Г.А., Силаев В.И., Аниkin Л.П. и др.* Эксплозивная минерализация // Толбачинское трещинное извержение 2012–2013 гг. Новосибирск: СО РАН, 2017. С. 241–255.
- Пономарев Г.П.* Содержание кальция в кристаллах оливина, выросших из экспериментальных расплавов. Ч. I // Литосфера. 2014. № 4. С. 66–79.
- Салтыковский А.Я., Титаева Н.А., Генишафт Ю.С.* Изотопия, геохимия базальтов Исландии и мантийный плюм // Вулканология и сейсмология. 1998. № 3. С. 25–38.
- Силаев В.И., Аниkin Л.П., Шанина С.Н. и др.* Абиогенные конденсированные органические полимеры в продуктах современного вулканизма в связи с проблемой возникновения жизни на Земле. Сыктывкар: Геопринт, 2018. 128 с.
- Силаев В.И., Добрецова И.Г., Антошкина А.И. и др.* Гидротермальные сульфидные оруденения в Российском разведочном районе Срединно-Атлантического хребта // Проблемы минералогии, петрографии и металлогении. Вып. 25. Пермь: Пермский гос. университет, 2022. С. 226–238.
- Силаев В.И., Карпов Г.А., Аниkin Л.П. и др.* Минерально-фазовый парагенезис в эксплозивных продуктах современных извержений вулканов Камчатки и Курил. Ч. I. Алмазы, углеродные фазы, конденсированные органоиды // Вулканология и сейсмология. 2019а. № 5. С. 54–67.
- Силаев В.И., Карпов Г.А., Аниkin Л.П. и др.* Минерально-фазовый парагенезис в эксплозивных продуктах современных извержений вулканов Камчатки и Курил. Ч. 2. Минералы-спутники алмазов толбачинского типа // Вулканология и сейсмология. 2019б. № 6. С. 36–49.
- Силаев В.И., Карпов Г.А., Аникин Л.П. и др.* Тефра катастрофического извержения вулкана Этна на Сицилии в 1669 г.: ее петро-минералого-геохимические свойства и геодинамический аспект // Вулканология и сейсмология. 2021. № 3. С. 41–62.
- Силаев В.И., Карпов Г.А., Филиппов В.Н. и др.* Минералого-геохимические свойства прикратерной тефры вулкана Эребус (Антарктида) из материалов извержения 2000 г. // Вулканология и сейсмология. 2020. № 4. С. 40–56.
- Соболев А.В., Никогонесян И.К.* Петрология магматизма долгоживущих мантийных струй: Гавайские острова (Тихий океан) и остров Реюньон (Индийский океан) // Петрология. 1994. № 2. С. 131–168.
- Чернышева Е.А., Ерошенко Д.В.* Закономерности вариации состава плюмовых вулканов в Южной Атлантике и на Африканской плите // Океанология. 2019. № 2. С. 271–281.
- Щербаков Ю.Г.* Геохимическая эволюция и рудные формации // Проблемы эндогенного рудообразования и металлогении. Новосибирск: Наука, 1976. С. 217–229.
- Civico R., Ricci T., Scarlato P. et al.* High-resolution Digital Surface Model of the 2021 eruption deposit of Cumbre-Vieja volcano, La Palma, Spain. 2022. doi.org/https://doi.org/10.1038/s41597-022-01551-81
- Romero J.E., Burton M., C'aceres F. et al.* The initial phase of the 2021 Cumbre-Vieja ridge eruption (Canary Islands): Products and dynamics controlling edifice growth and collapse // J. Volcanol. and Geotherm. Res. 2022. V. 431. P. 1–16.
- Cabanis B., Lecolle M.* Le diagramme La/10–Y/15–Nb/8: un outils pour la discrimination des séries voleangues et la mise en évidence des processus de mélange et/ou de contamination sur crustale // C.R. Acad. Sci. Ser. II. 1989. V. 309. P. 2023–2029.
- Giehl C., Marks M., Nowak M.* Phase relations and liquid lines of descent an iron-rich peralkaline phonolitic melt: An experimental study // Contr. Miner. Petrol. 2013. № 2. P. 283–304.
- Green D.H., Ringwood A.E.* An experimental investigation of the gabbro to eclogite transformation and its petrological application // Geochim. Cosmochim. Acta. 1967. V. 31. № 5. P. 767–833.
- Spenser K.J., Lindsley D.H.* Solution model for coexisting iron-titanium oxides // Amer. Mineral. 1981. V. 66. P. 1189–1201.
- Wood D.A.* The application of Th–Hf–Ta diagram to problem of tectonomagmatic classification and to establish the basaltic lavas of the British Tertiary volcanic province // Earth and Planet. Sci. Lett. 1980. V. 50. P. 11–30.

Tephra from the Island Intra-Plate-Oceanic Volcano Cumbre-Vyaha (Eruption 2021)

V. I. Silaev^{1,*}, G. A. Karpov^{2,**}, A. S. Shuisky¹, A. F. Khazov¹, G. V. Ignatiev¹, S. N. Shanina¹,
B. A. Makeev¹, I. V. Smoleva¹, and D. V. Kiselyova³

¹Institute of Geology, Komi Scientific Center, Ural Branch of the Russian Academy of Sciences,
Pervomayskaya str., 54, Syktyvkar, 167982 Russia

²Institute of Volcanology and Seismology, Far East Branch, Russian Academy of Sciences,
bulvar Piipa, 9, Petropavlovsk-Kamchatsky, 683006 Russia

³Institute of Geology and Geochemistry, Ural Branch of the Russian Academy of Sciences,
Vonsovskogo str., 15, Yekaterinburg, 620016 Russia

*e-mail: silaev@geo.komisc.ru

**e-mail: karpovga@kscnet.ru

Comprehensive mineralogical and geochemical studies of a representative sample of tephra from the Cumbre-Vyaha volcano (2020–2021 eruption), which has a gravel-psammitic granulometric composition and is characterized by an anomalously high degree of particle vesicularity, have been carried out. In terms of bulk chemical composition, this tephra corresponds to the transition from alkaline picrumbasalts to alkaline basalts, differing fundamentally from the tephra ashes of marginal continental volcanoes. The studied tephra contains 45 trace elements with a total content of up to 2333 ppm, which exceeds that in the tephra of island-arc volcanoes. According to the ratio of geochemical criteria, tephra from Cumbre-Vyaha correspond to the average values for within-plate volcanoes in the oceans. The geochemical feature of the studied tephra is a strong enrichment in lanthanides, noble and platinoid metals. H₂, CO, CO₂, H₂O, CH₄, C₂H₄, C₂H₆, C₃H₆, C₃H₈ were found in the composition of the lithogenic gas phase separated by heating from the studied tephra. The proportions between inorganic components in the gas phase generally correspond to the boundary region between crustal and mantle-crustal derivatives, but a relatively low water content is found. Olivine of composition Fo_{73–84}, essentially diopside clinopyroxene, andesine-bytovnite plagioclases, chrome spinels, phase-homogeneous solid solutions of ilmenite in magnetite, phases of Ni-Cu-bearing native iron, quartz, and sodium hydroxyl chlorides were identified and studied in microlites. In addition, dispersed carbon matter with carbon isotopic composition δ¹³CPDB = –30...–24‰ was found in the Cumbre-Vyaha tephra, which corresponds to the carbon isotope composition in abiogenic carbonaceous substances of volcanic origin. The totality of the results of mineralogical and geochemical studies characterizes the Cumbre-Vyaha volcano as a typical representative of within-plate oceanic plume volcanoes.

Keywords: plume volcanoes, Cumbre-Vyaha, 2020–2021, chemistry, trace elements, lithogenic gas phase, microlites, abiogenic carbon matter